Figure 1 : Composition moyenne de l'atmosphère

Les pourcentages sont donnés en volume (ppmv : parties par million volumique) (in Dunod, 2021)

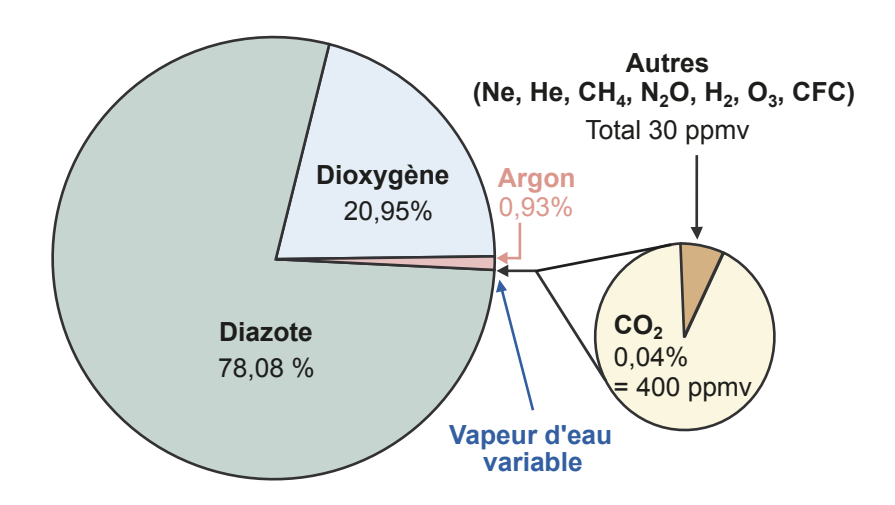
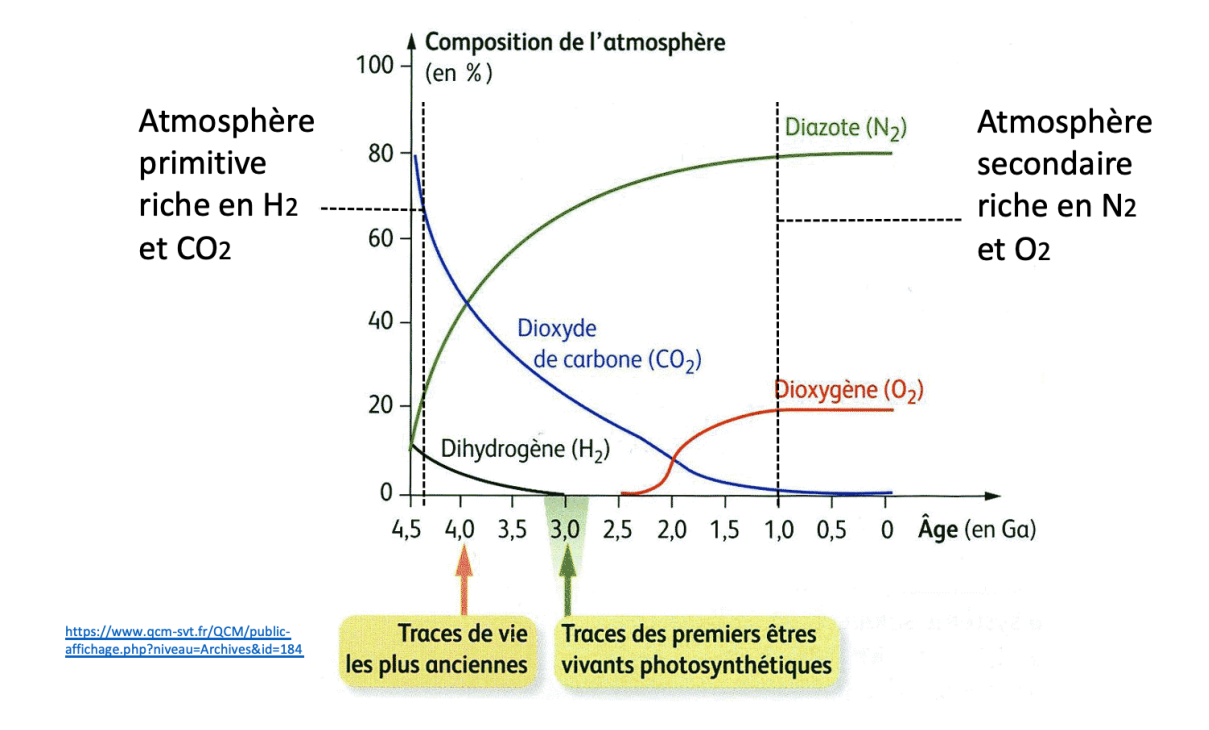


Figure 2 : évolution de la composition de l'atmosphère terrestre.



L'hydrogène et le dioxyde de carbone étaient initialement les constituants les plus abondants. L'hydrogène, trop léger, n'a pas pu être retenu par gravité et a été évacué vers les parties plus froides du Système Solaire. Le dioxyde de carbone a été solubilisé dans l'océan primitif et précipité sous forme de carbonates. Il a été ainsi fixé par les sédiments et progressivement remplacé par l'azote qui provient comme le CO₂ de l'activité volcanique mais qui ne peut être piégé dans des précipitations minérales. L'oxygène apparaît tardivement avec le développement des organismes photosynthétiques.

Figure 3: stratification de l'atmosphère

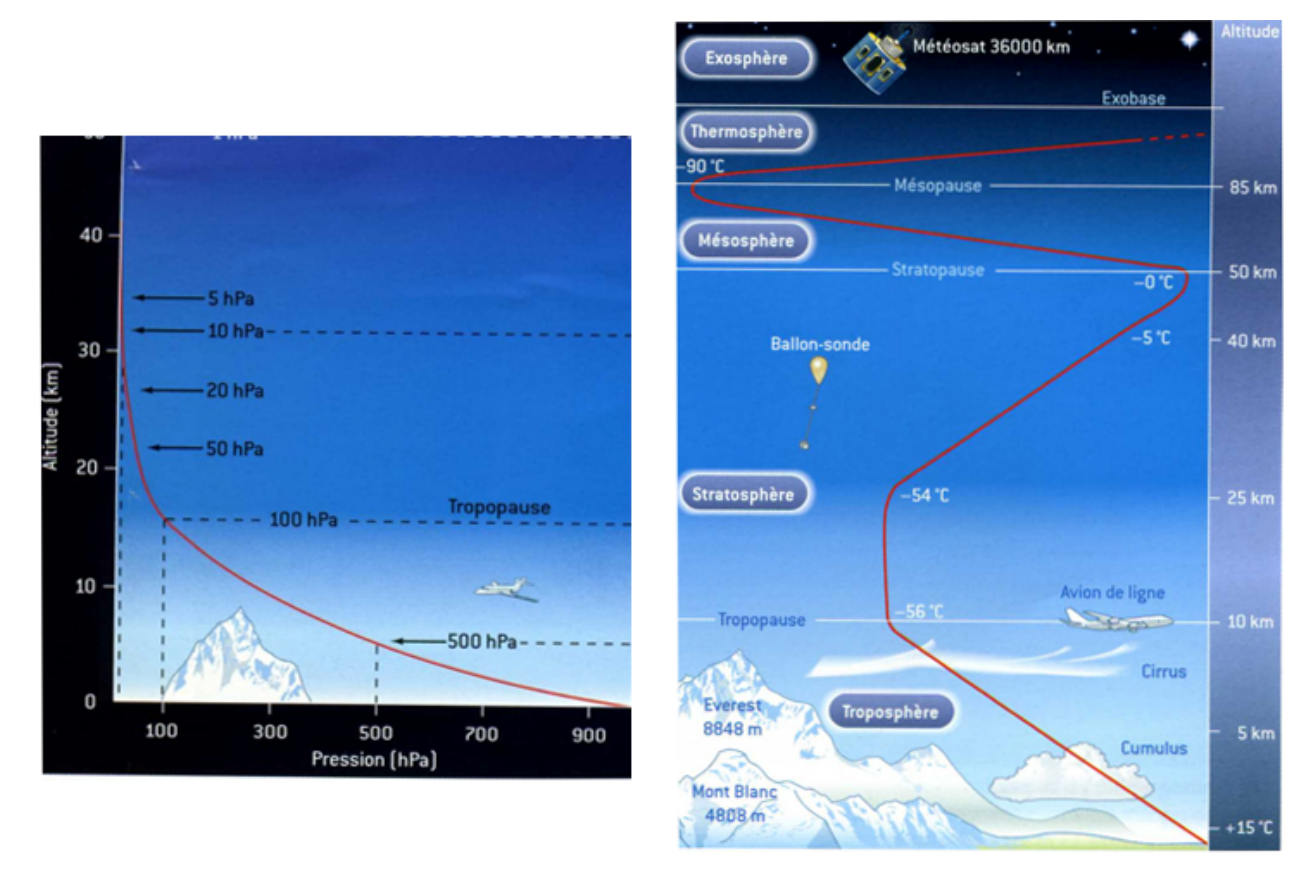


Figure 4 : profil de température et stratification de l'océan

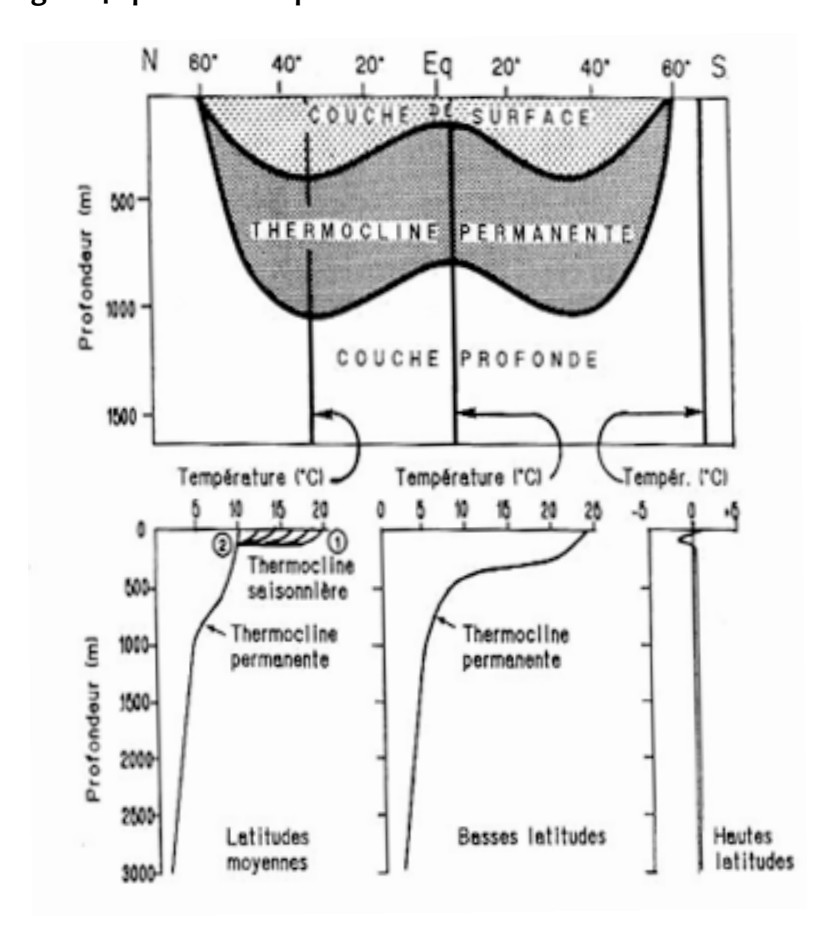


Figure 5 : Les trois couches de l'océan. Dioxygène, Co2 et matières organiques azotées.

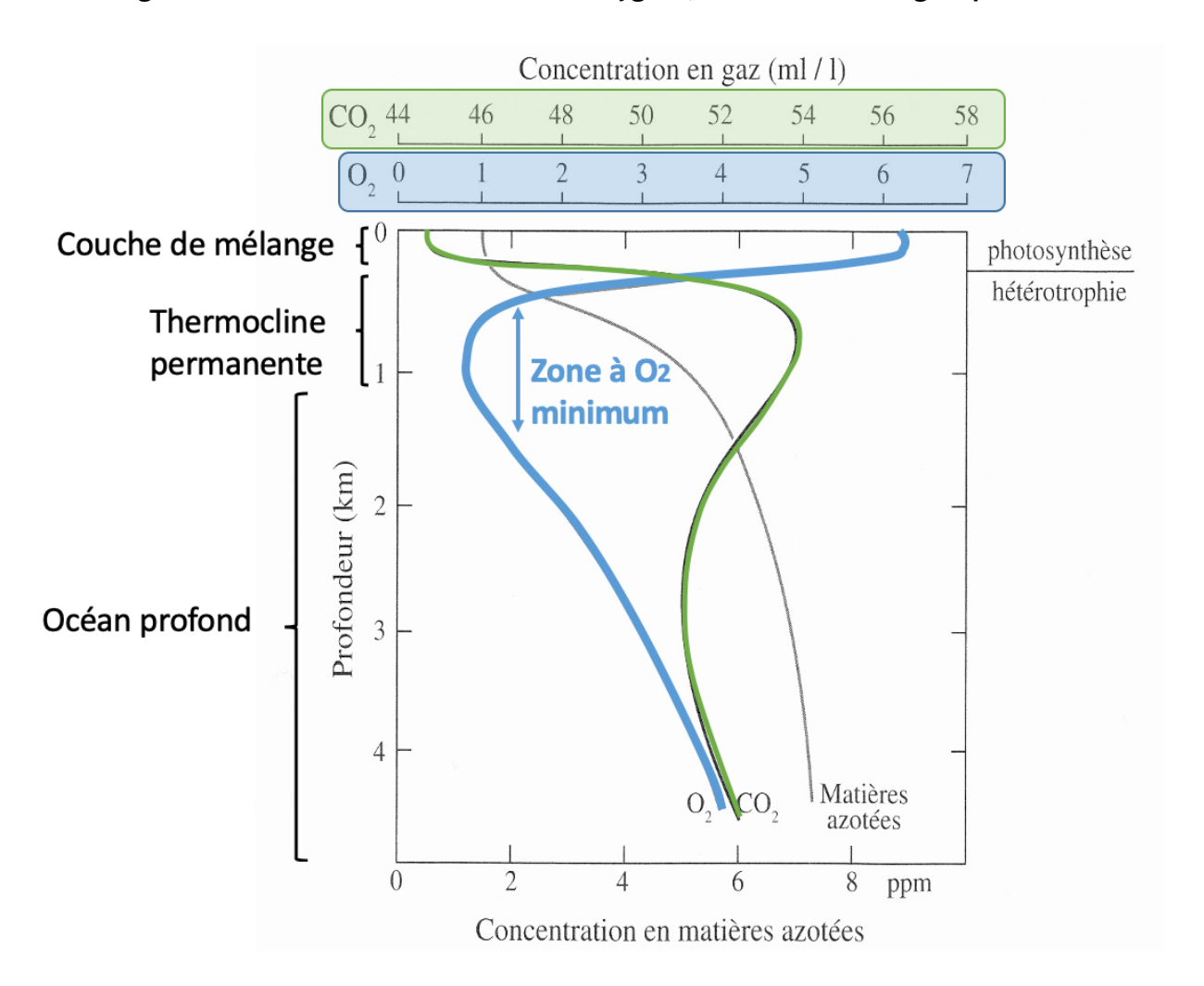
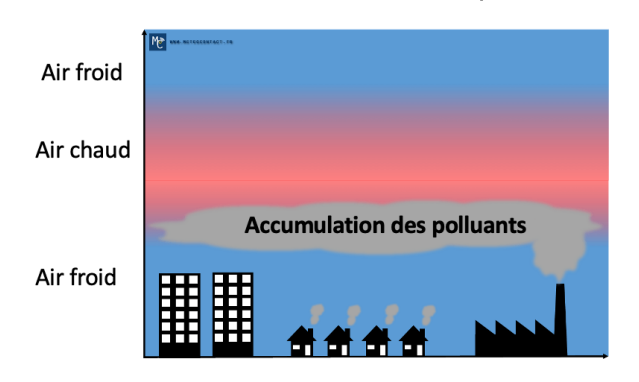


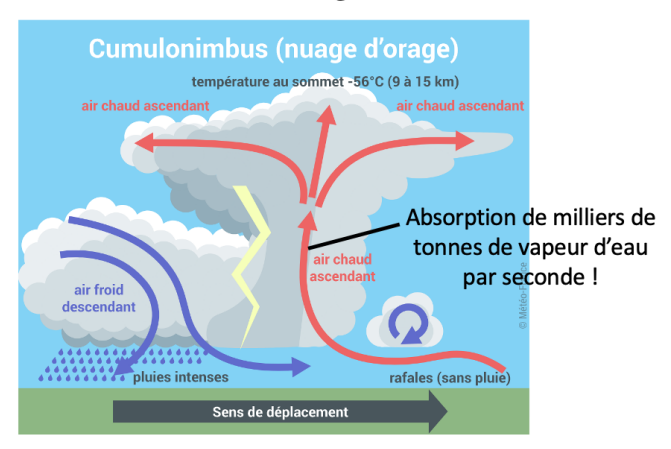
Figure 6 : des exemples de nuages (in Renard et al., 2018)

Inversion thermique



https://www.meteocontact.fr/pour-aller-plus-loin/les-inversions-thermiques

Formation d'un nuage convectif



 $\underline{\text{https://meteofrance.com/comprendre-la-meteo/orages/les-cumulonimbus}}$



Figure 21.5 Les deux grands types de formations nuageuses.

- **A.** Formation nuageuse cumuliforme, témoin d'une instabilité de la couche saturée de l'atmosphère (région du massif des Trois Couronnes, Pays basque espagnol).
- B. Formation nuageuse stratiforme, témoin d'une stabilité de la couche saturée de l'atmosphère.

Figure 7 : L'upwelling côtier d'Amérique du sud : une zone de perturbation de la stratification océanique.

(http://apdrc.soest.hawaii.edu/projects/DOT/; https://www.researchgate.net/figure/a-West-Pacific-SST-Walker-cell-and-upwelling-during-ENSO-neutral-conditions-b-West_fig6_322886947

Variations de topographie océanique (en mm) obtenues par altimétrie satellitaire

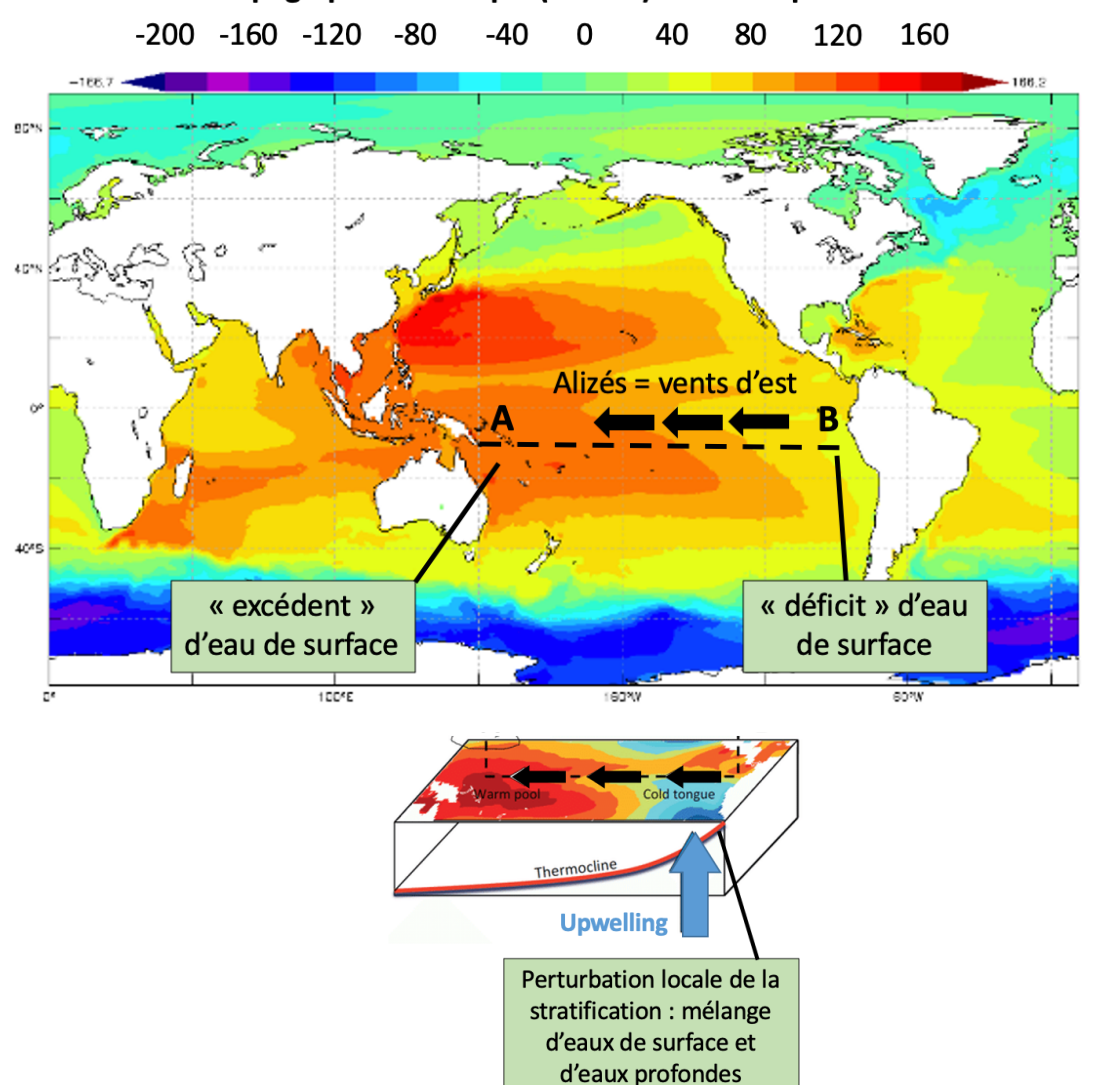


Figure 8 : Effet de serre (in Renart 2018)

Bien que relativement transparente au rayonnement solaire, l'atmosphère ne transmet pas le spectre de manière uniforme. Le rayonnement UV ($\lambda < 0.3$ mm) est presque totalement absorbé dans les couches supérieures notamment par l'ozone stratosphérique. Dans le domaine infrarouge thermique ($\lambda > 4$ mm), les données satellitaires montrent que des plages importantes du spectre sont absorbées par la vapeur d'eau, le CO_2 et l'ozone. Ce rayonnement infrarouge absorbé est, à son tour, réémis (fig.~20.2) soit vers l'espace ($40~\text{W}\cdot\text{m}^{-2}$) soit vers la surface terrestre ($324~\text{W}\cdot\text{m}^{-2}$). Cette rémission en direction de la surface terrestre constitue l'**effet de serre**.

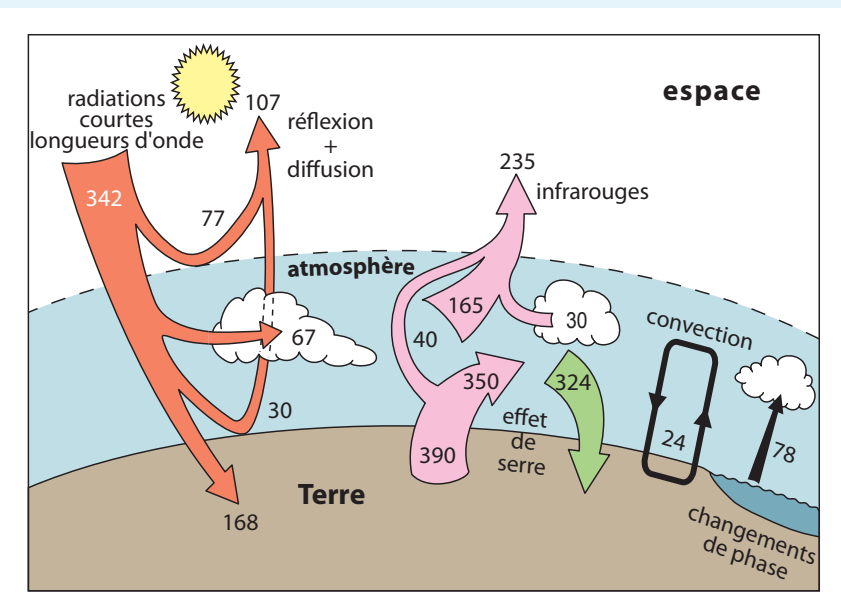


Figure 20.2 Le bilan thermique du système Terre-atmosphère (explication dans le texte). Toutes les valeurs sont en W·m⁻².

Figure 9 : Les échanges d'énergie par transferts radiatifs, conductifs, convectifs et par variations d'enthalpie liés aux changements d'état de l'eau

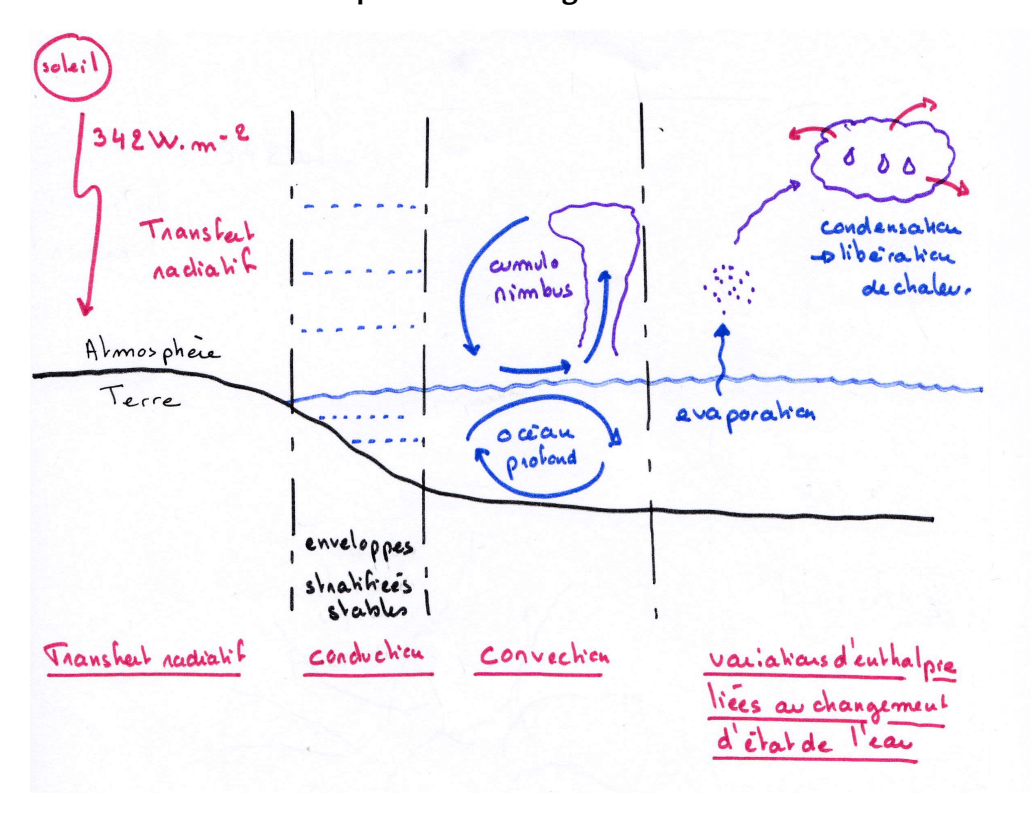


Figure 10 : Le bilan thermique moyen de la Terre

http://svt.ac-dijon.fr/schemassvt/spip.php?article3004

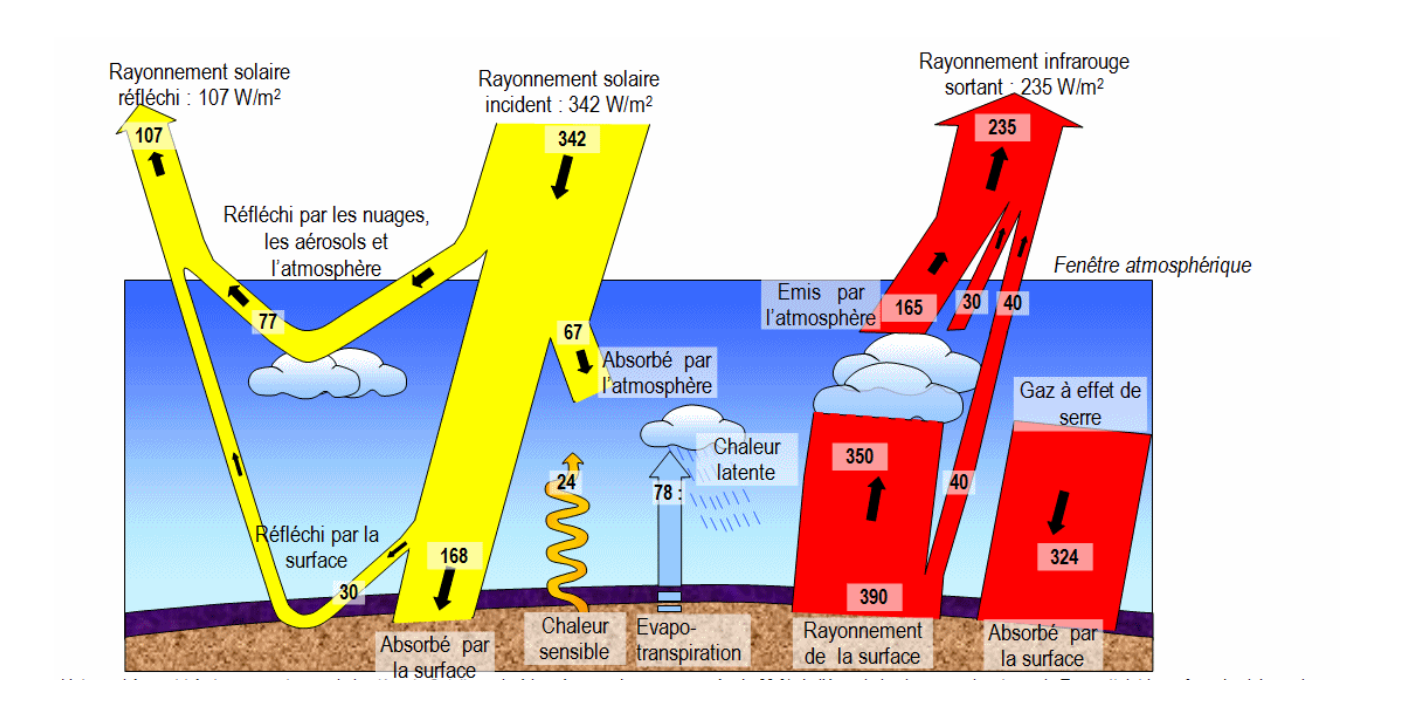
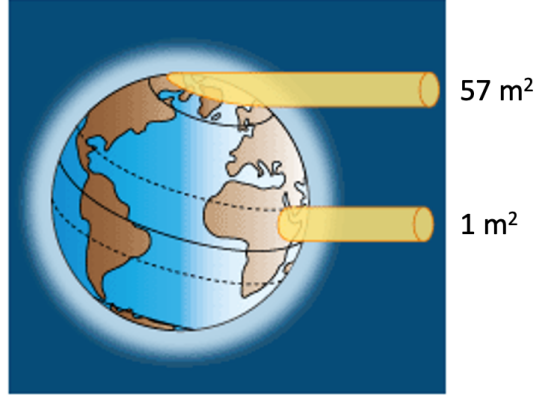
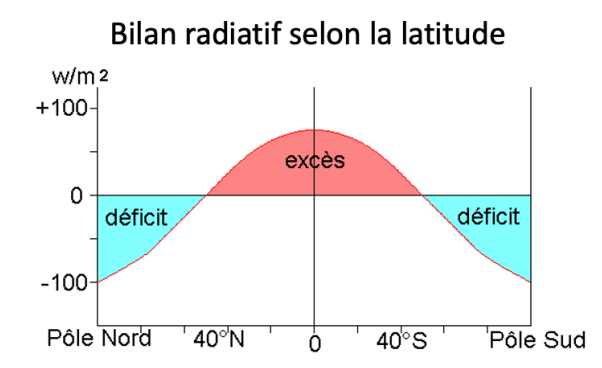


Figure 11 : L'inégale répartition de l'énergie solaire à la surface de la Terre.

Emprise au sol d'un même faisceau de radiation solaire



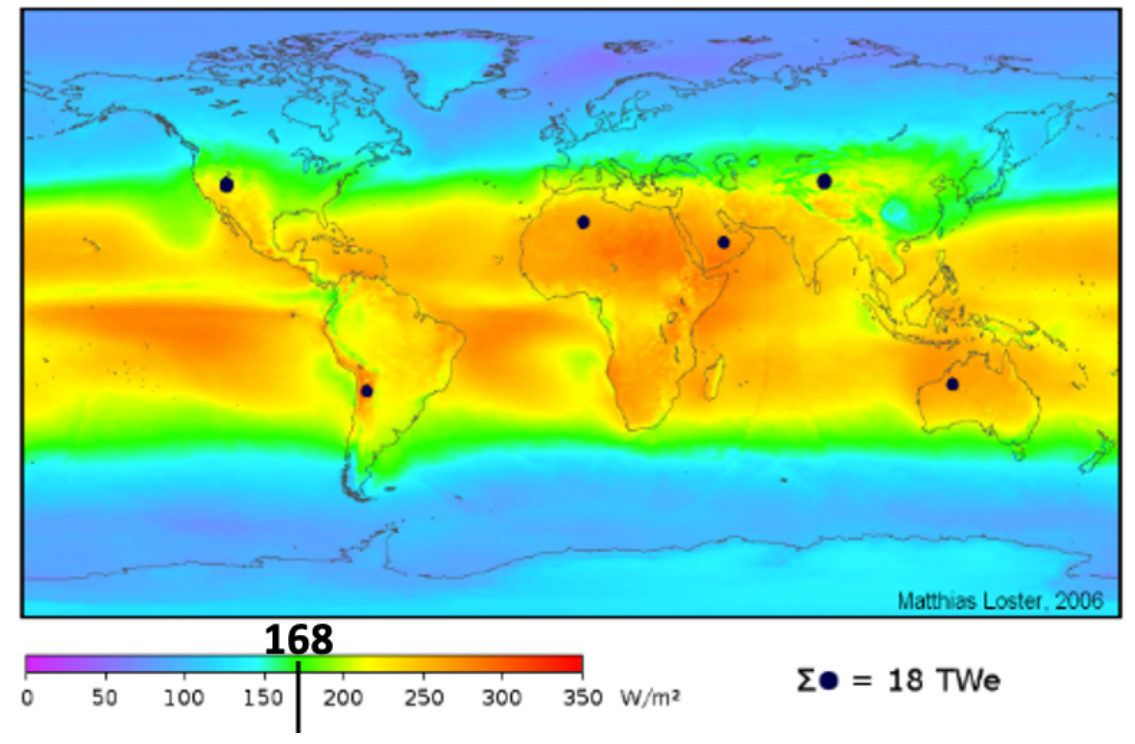
http://systeme-solaire-svt.e-monsite.com/pages/la-terre-dans-le-systeme-solaire/lenergie-solaire-est-inegalement-repartie-a-la-surface-du-globe.html



https://www.u-picardie.fr/beauchamp/mbg6/atmos.htm

Répartition du flux solaire moyen absorbé par le sol ou l'océan

https://commons.wikimedia.org/w/index.php?curid=652995



Moyenne du flux solaire absorbé par le sol

Figure 12 : La pseudo-force de Coriolis et la circulation atmosphérique

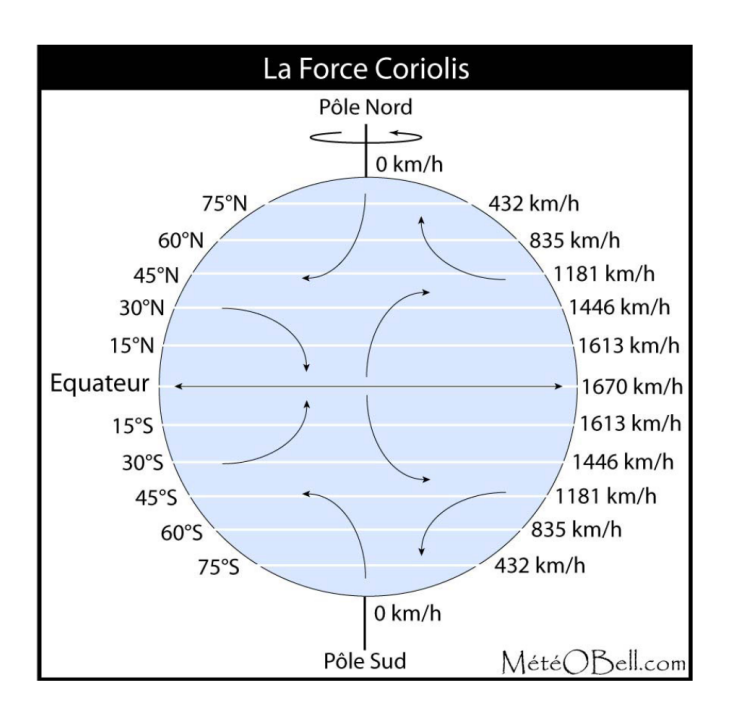
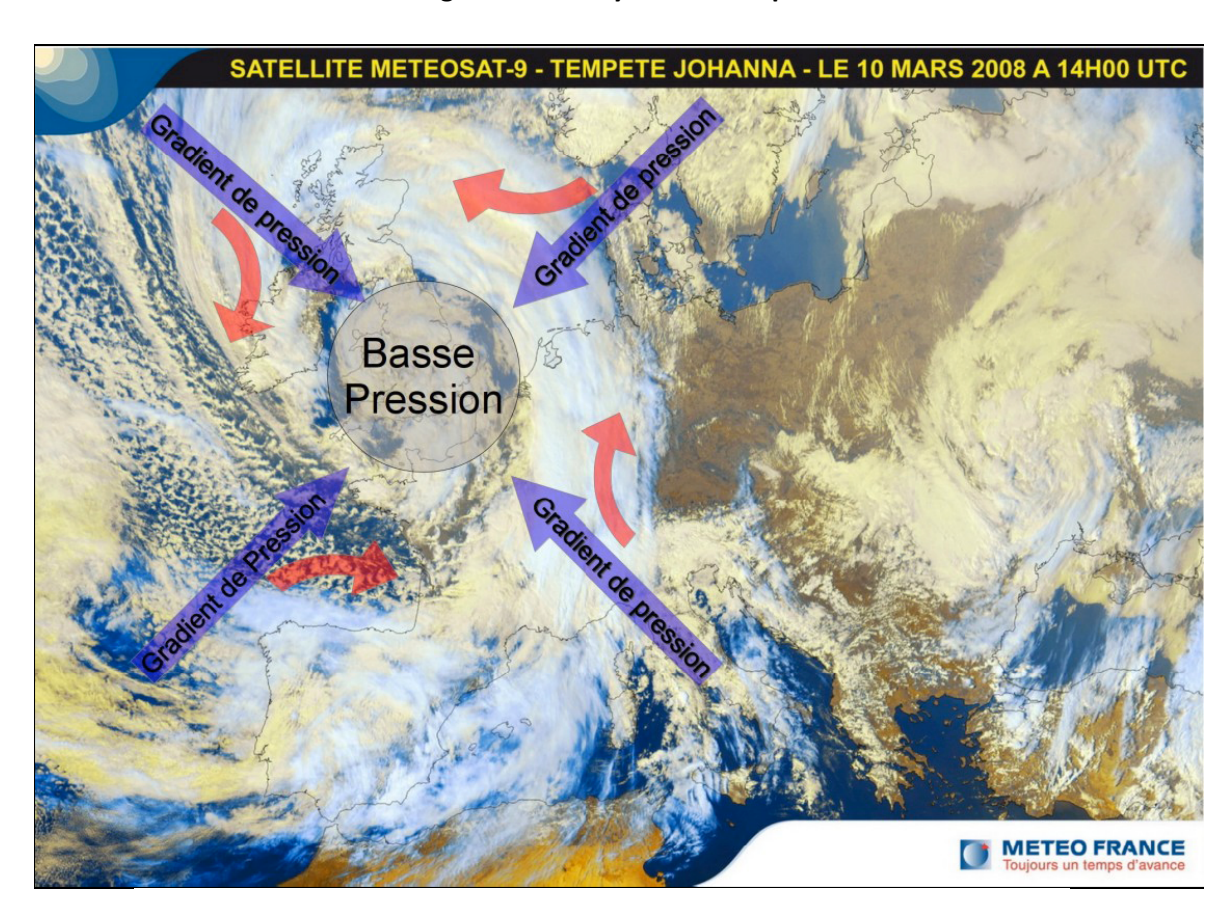


Figure 13: anticyclones et depressions



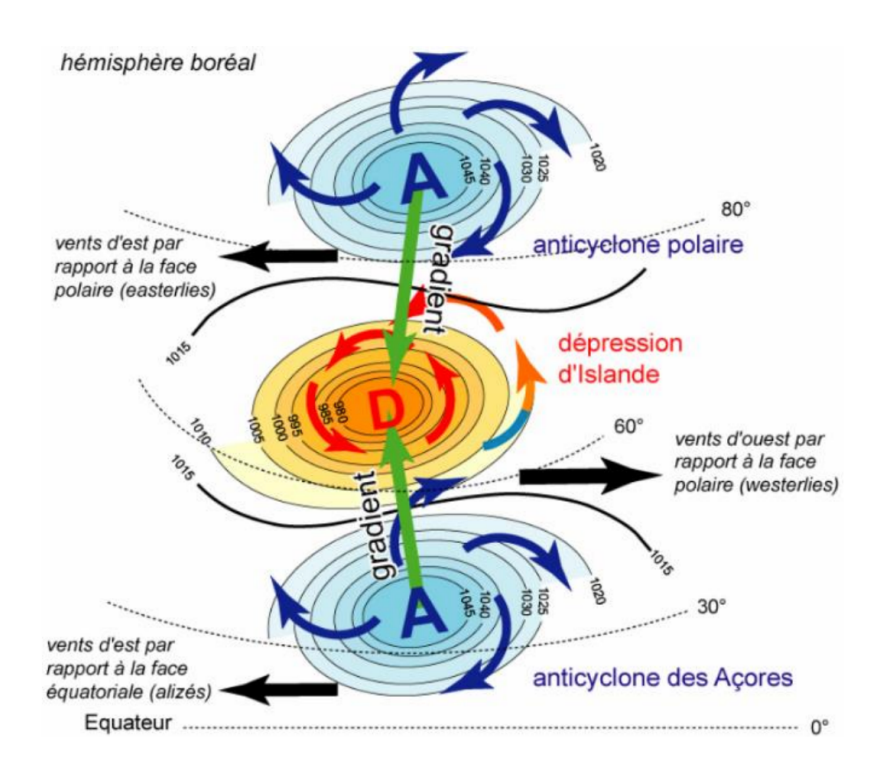
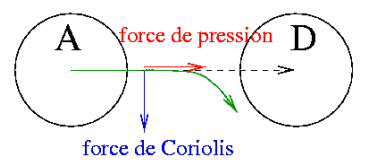


Schéma général de la circulation atmosphérique dans l'hémisphère boréal

Figure 14: Equilibre géostrophique (hémisphère Nord, mB = millibars)



En pointillés, la trajectoire sans force de Coriolis. La vraie trajectoire est en vert.

Formation d'un vent géostrophique

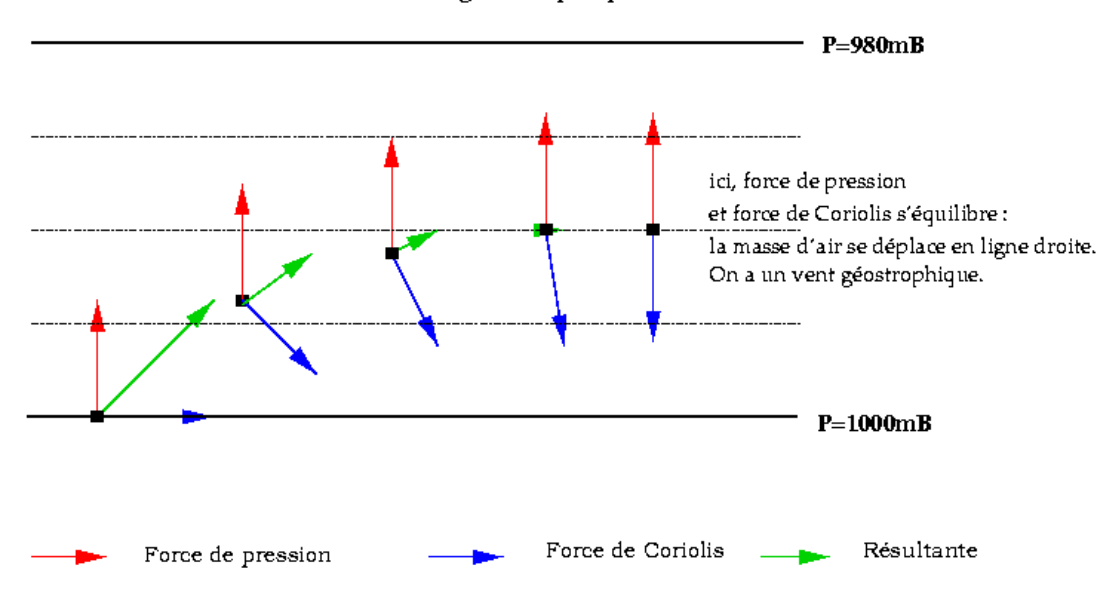
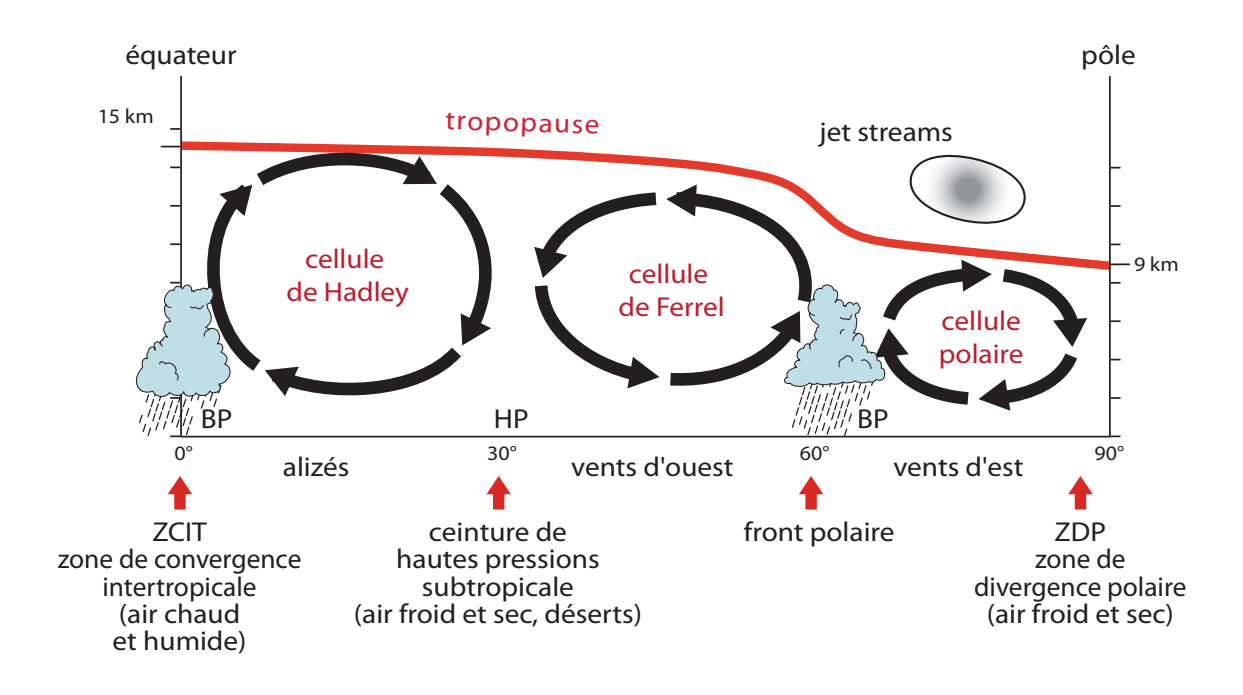
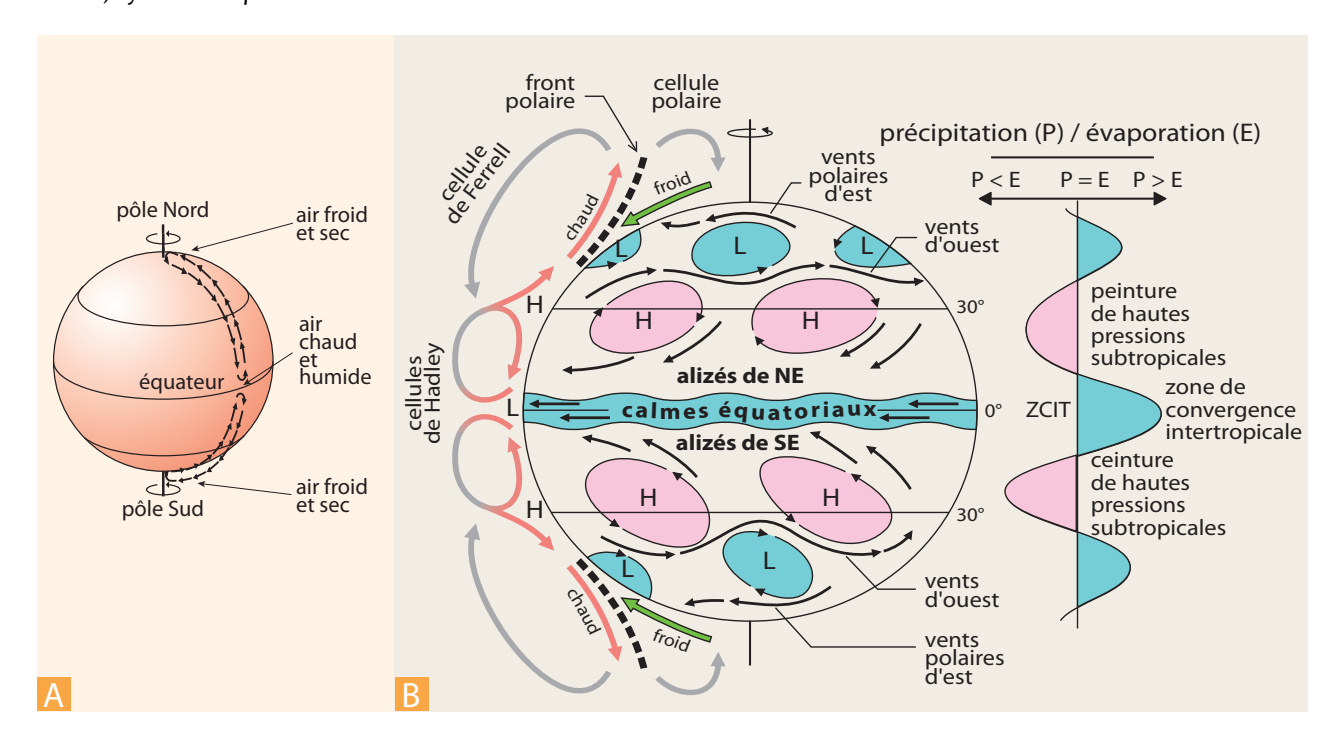
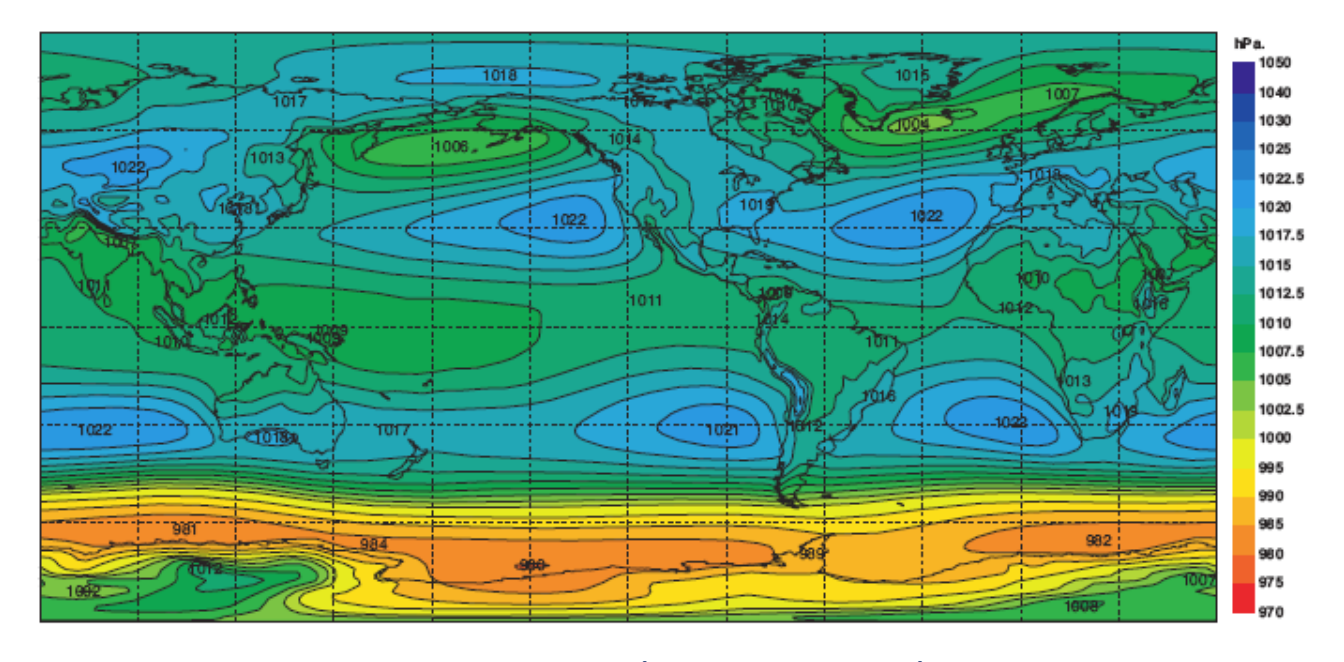


Figure 15 : Les trois types de cellules de convection atmosphériques. (in Renard, 2016)



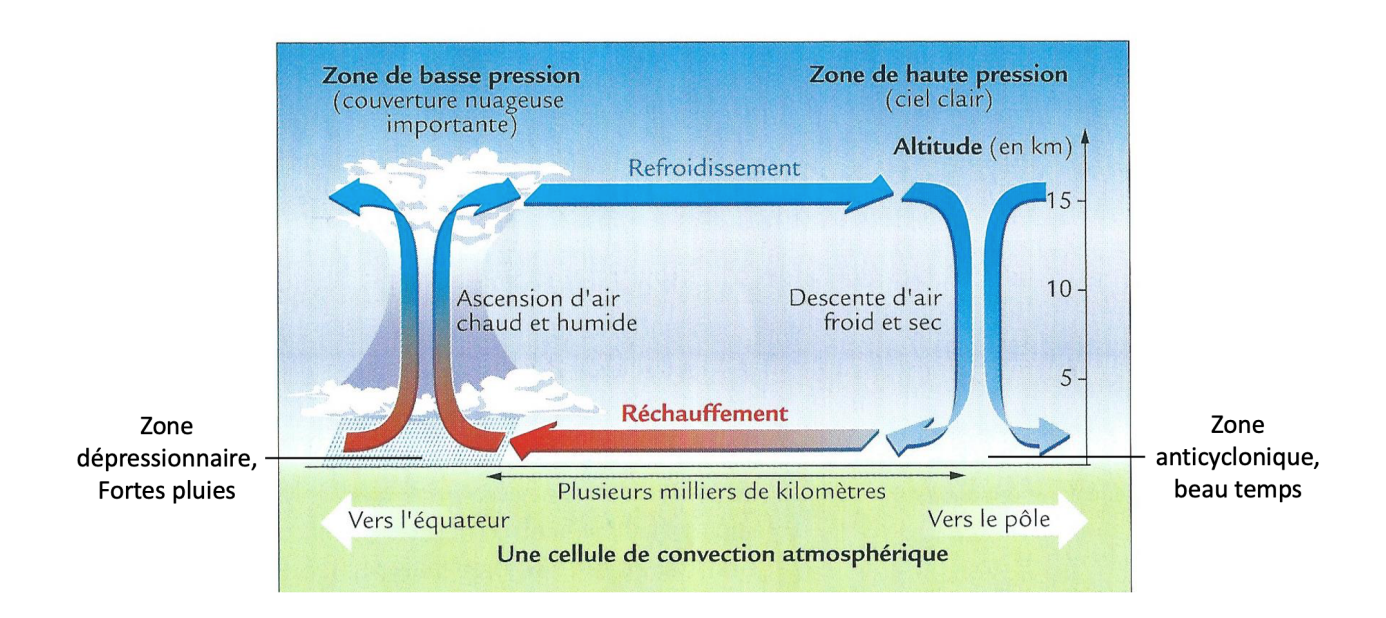




Champ de pression moyenne annuelle (moyenne sur 45 ans) au niveau de la mer.

Les pressions au niveau de la mer sont indiquées en hectopascals (hPa); les zones en bleu correspondent aux hautes pression (« anticyclones »), les zones vertes / oranges, aux basses pressions (« dépressions »). Les lignes joignant les points d'égale pression sont les isobares.

Figure 16a : Une cellule de convection atmosphérique, avec les zones anticyclonique et dépressionnaire.



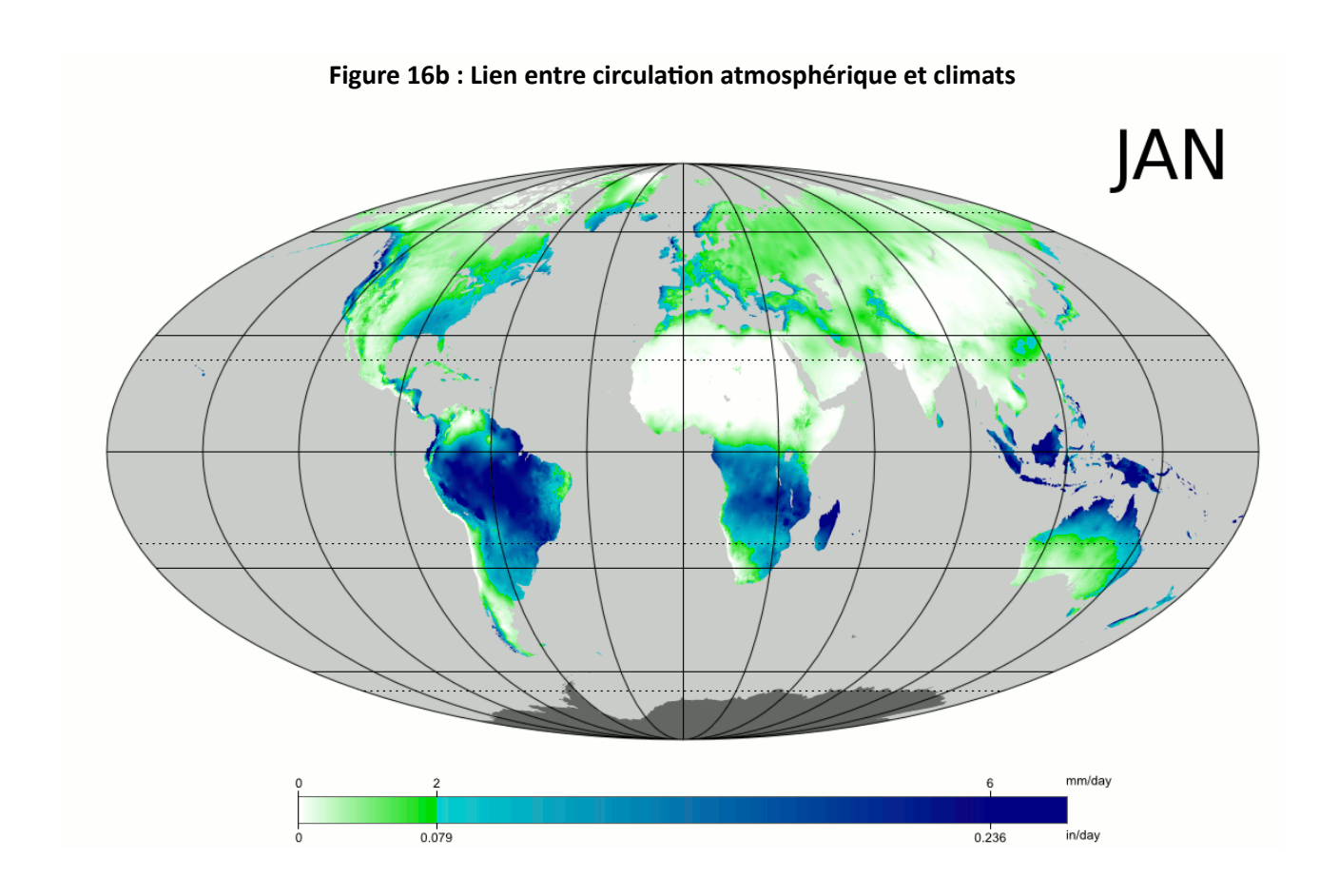


Figure 17a: La ZCIT et ses variations

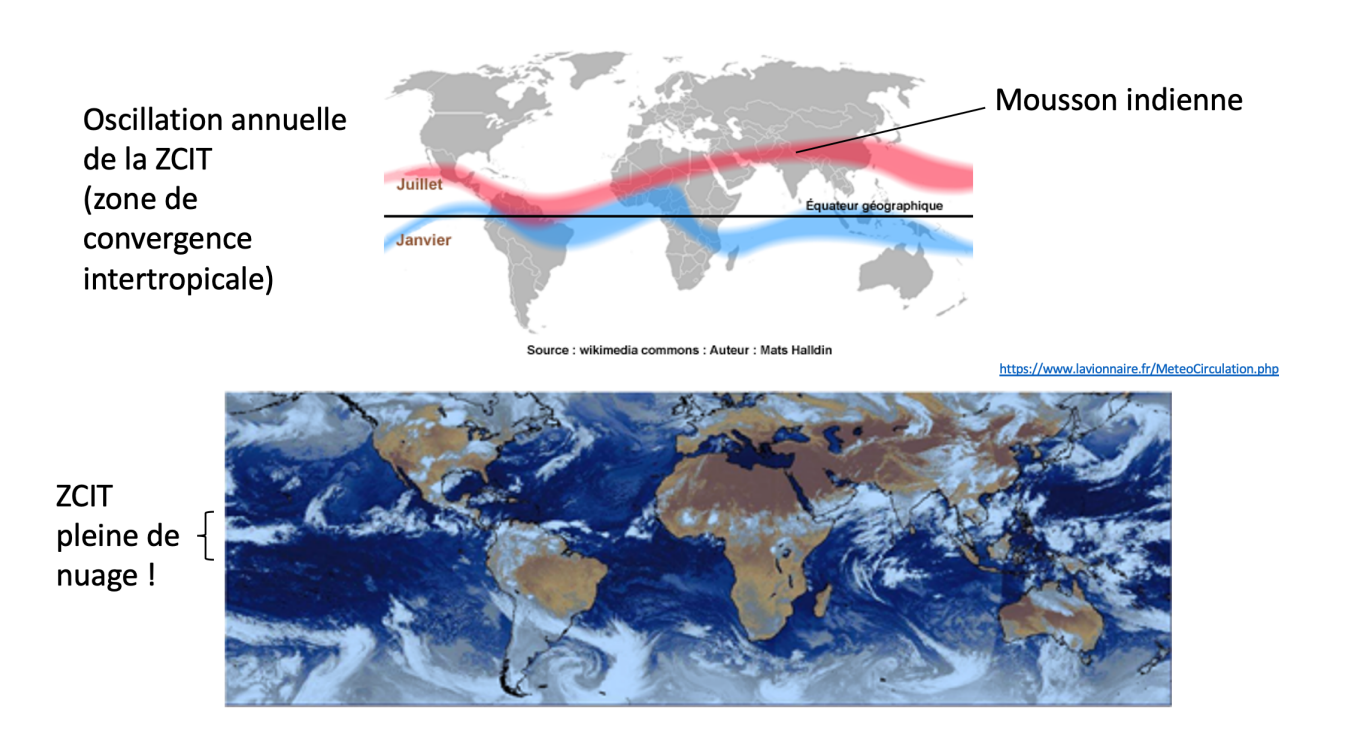


Figure 17b : Les alizés et la formation de la cellule de Walker dans l'océan Pacifique. (in Dunod, 2021)

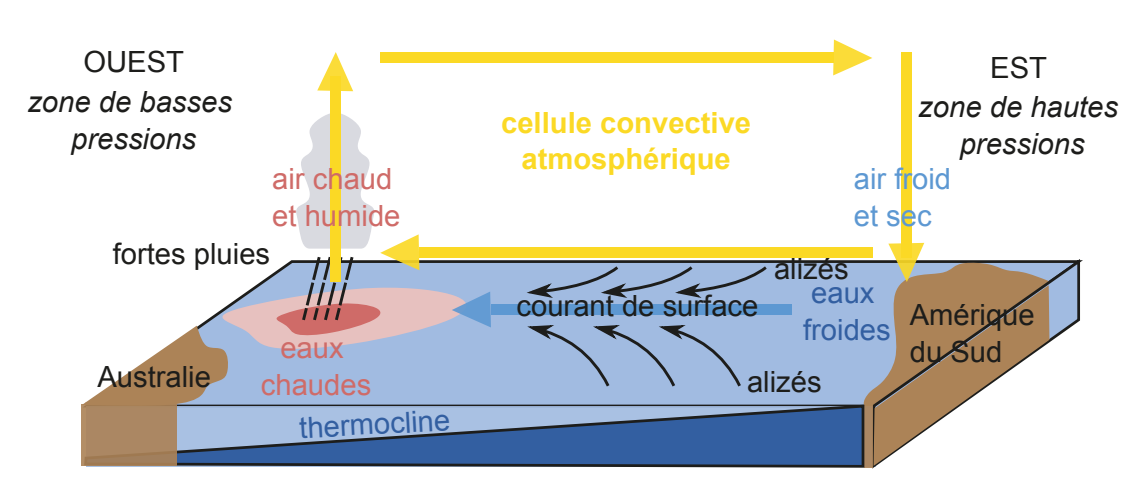
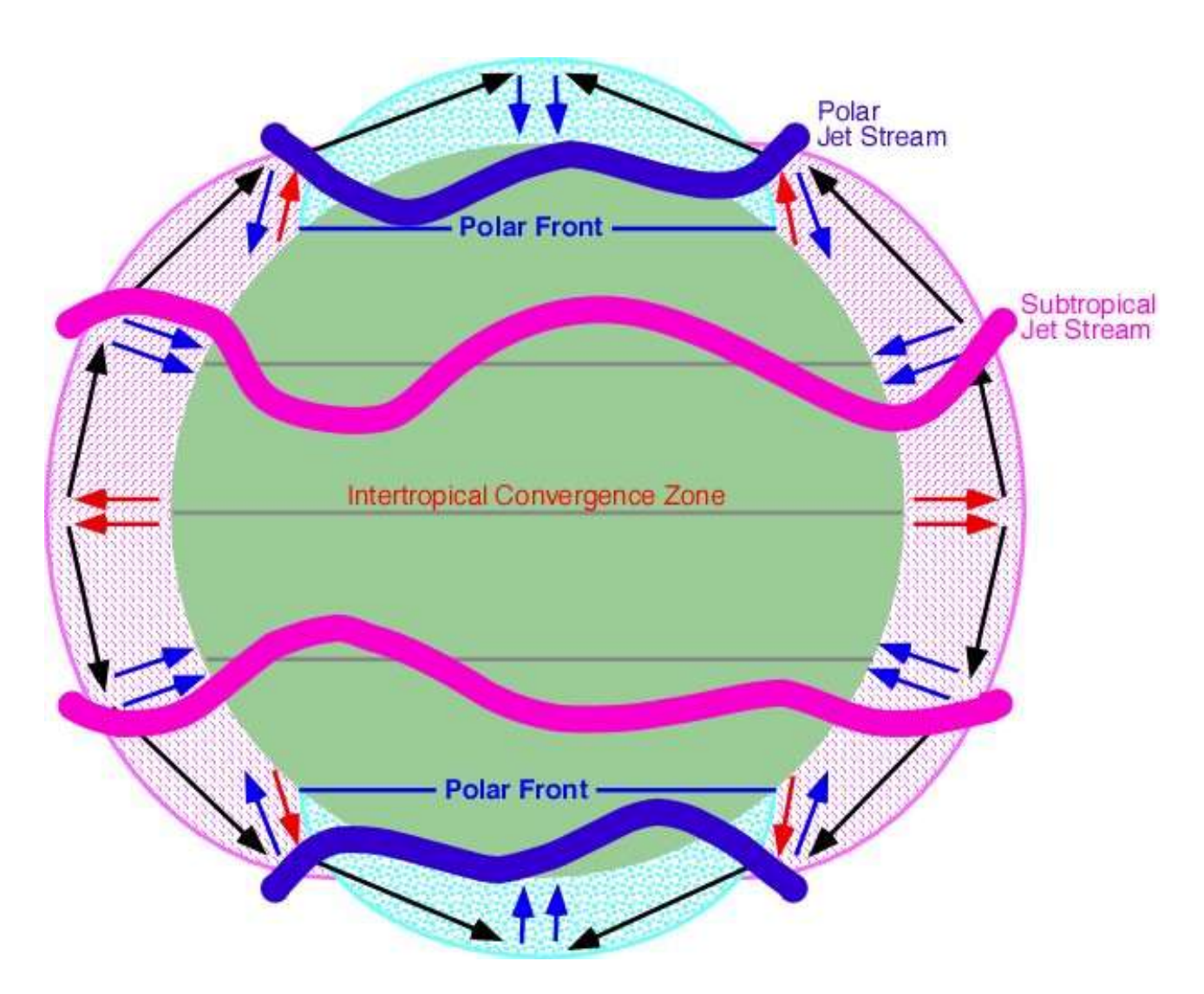


Figure 30.3 Cellule de Walker du Pacifique vue en coupe.

Figure 18: Les jet d'altitude (https://www.futura-sciences.com/)



Les courants-jets dans les deux hémisphères se forment au niveau de la branche descendante des cellules de circulation atmosphérique. En rose, les courants-jets subtropicaux (subtropical jet streams). Ces vents sont générés au niveau de la branche descendante de la cellule de Hadley, qui distribue l'air de l'équateur (flèches rouges) vers les plus hautes latitudes. En bleu, les courants-jets des latitudes moyennes. Ces vents sont générés au niveau de la branche descendante de la cellule de Ferrel. © M. Pidwirny, Fundamentals of Physical Geography, 2006

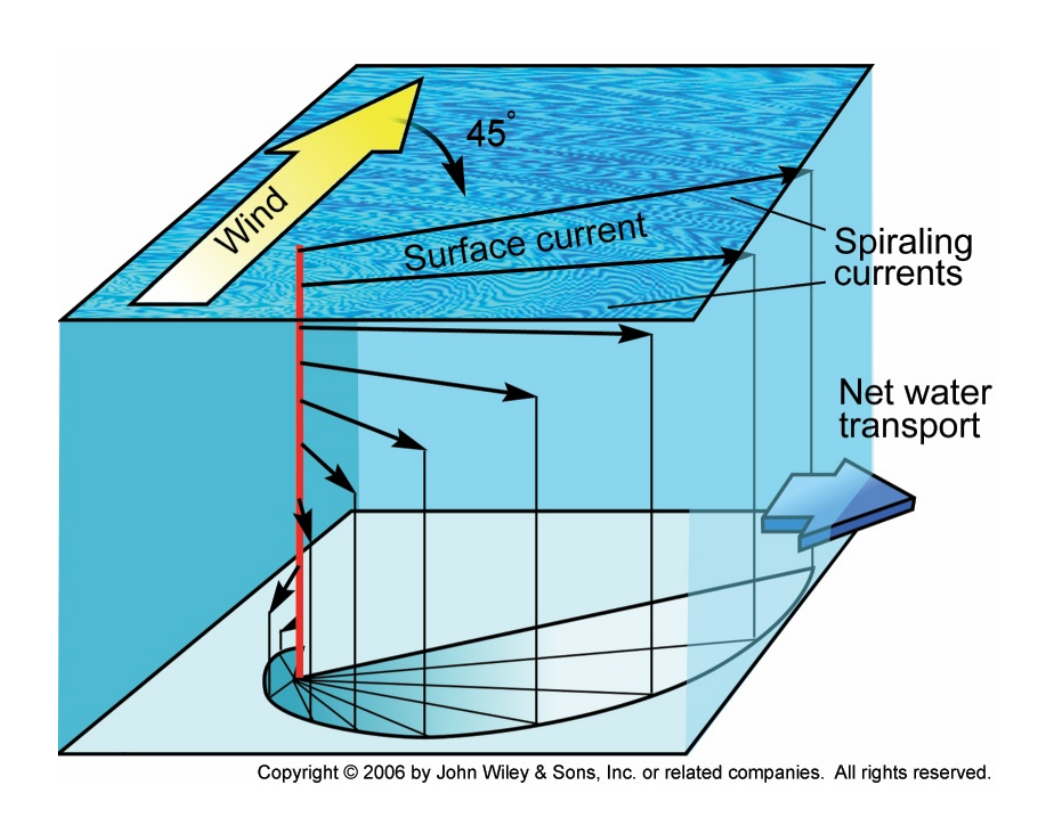
Figure 19 : comparaison des courants troposphériques et des courants marins de surface.

Circulation des vents en janvier Vitesse : dizaines à centaines de km/h Vitesse ≈ 10 km/h Pacific Gyre N. Equatorial C. N. Equatorial C. N. Equatorial C. N. Equatorial C. Resultorial C. Net House Gyre West West Orie East Wind Drift Vitesse ≈ 10 km/h West West Orie East Wind Drift East Wind Drift

Un exemple de couplage mécanique entre un anticyclone et un gyre

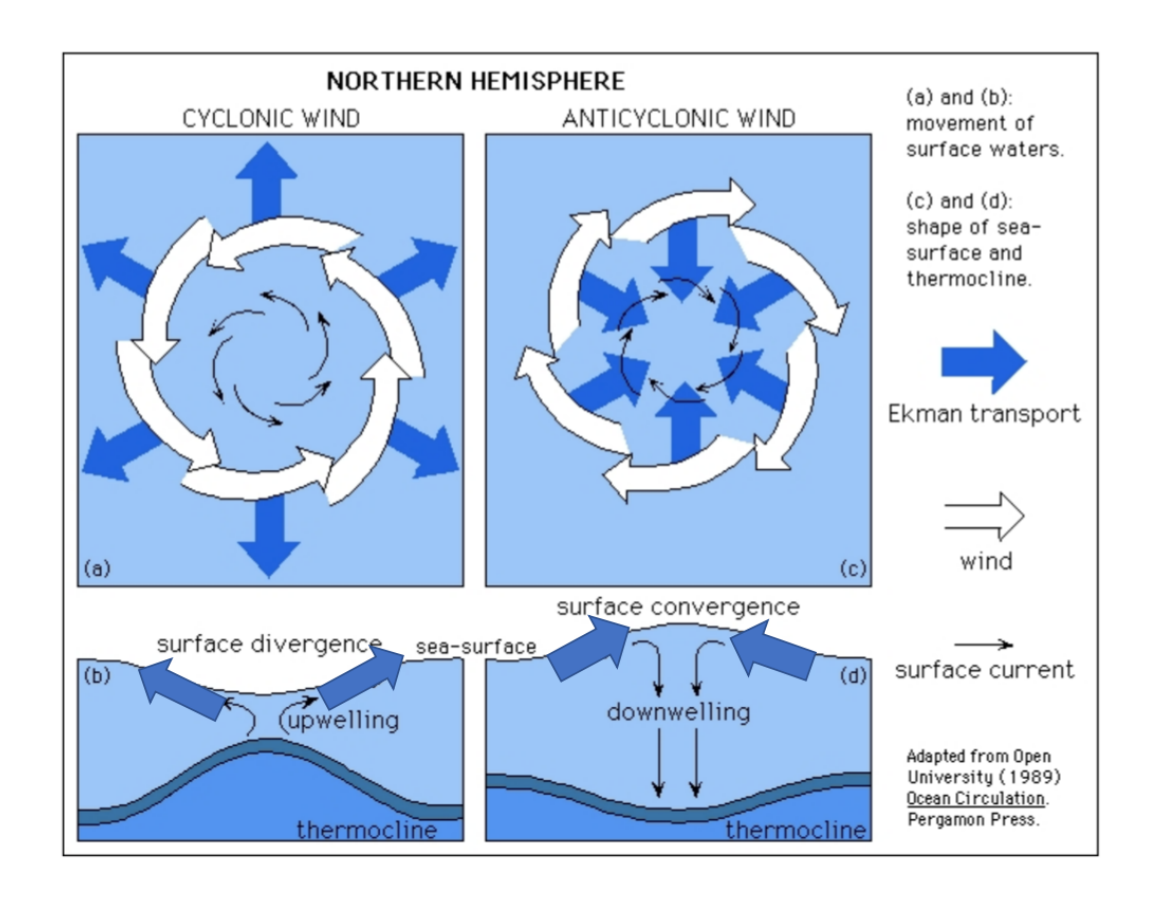
Total : 5 grands gyres fortement corrélés aux courants de surface

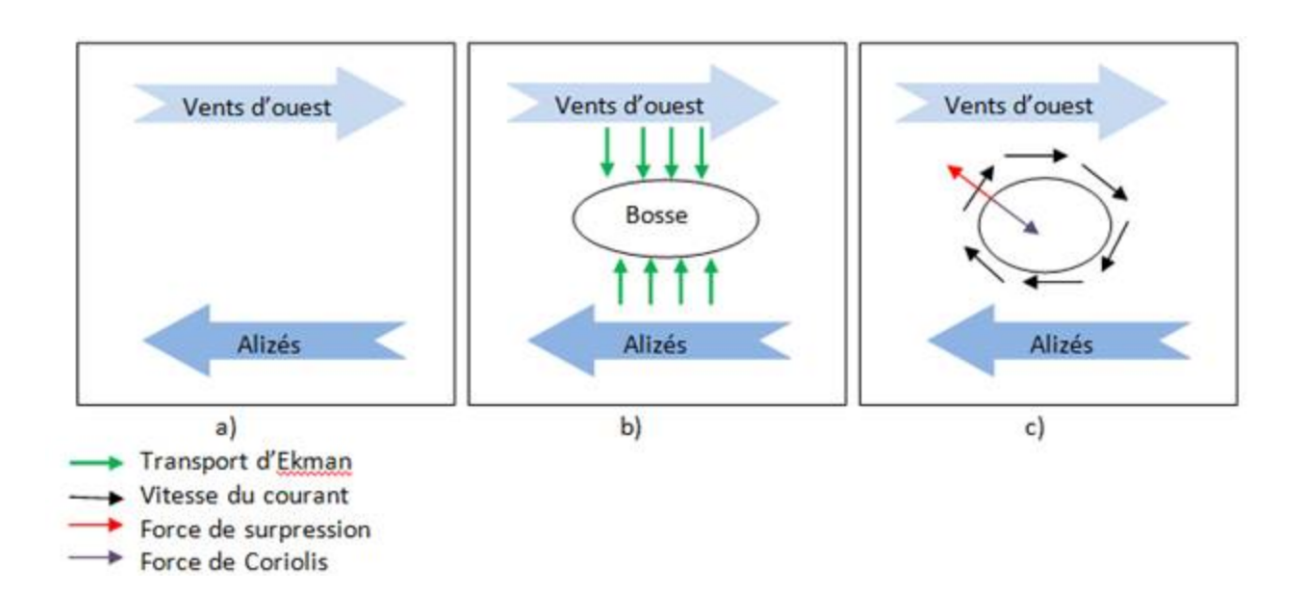
Figure 20 : Le couplage mécanique troposphère-océan : la spirale d'Ekman et ses conséquences



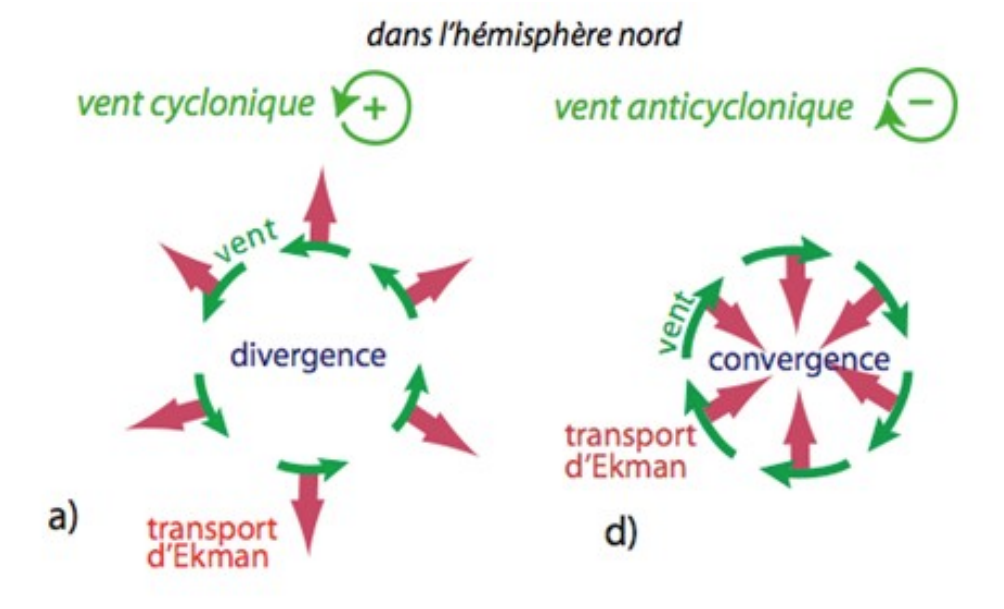
Formation du gyre subtropical

https://www.emse.fr





L'eau tend à s'écouler radialement autour de cette bosse, écoulements soumis à l'effet Coriolis et desquels naissent des courants circulaires en rotation horaire autour de cette « bosse ». Leur vitesse est telle que la force de Coriolis dirigée vers le centre de l'élévation compense la surpression. Cet équilibre (force de Coriolis=force de pression) est appelé « équilibre géostrophique ».



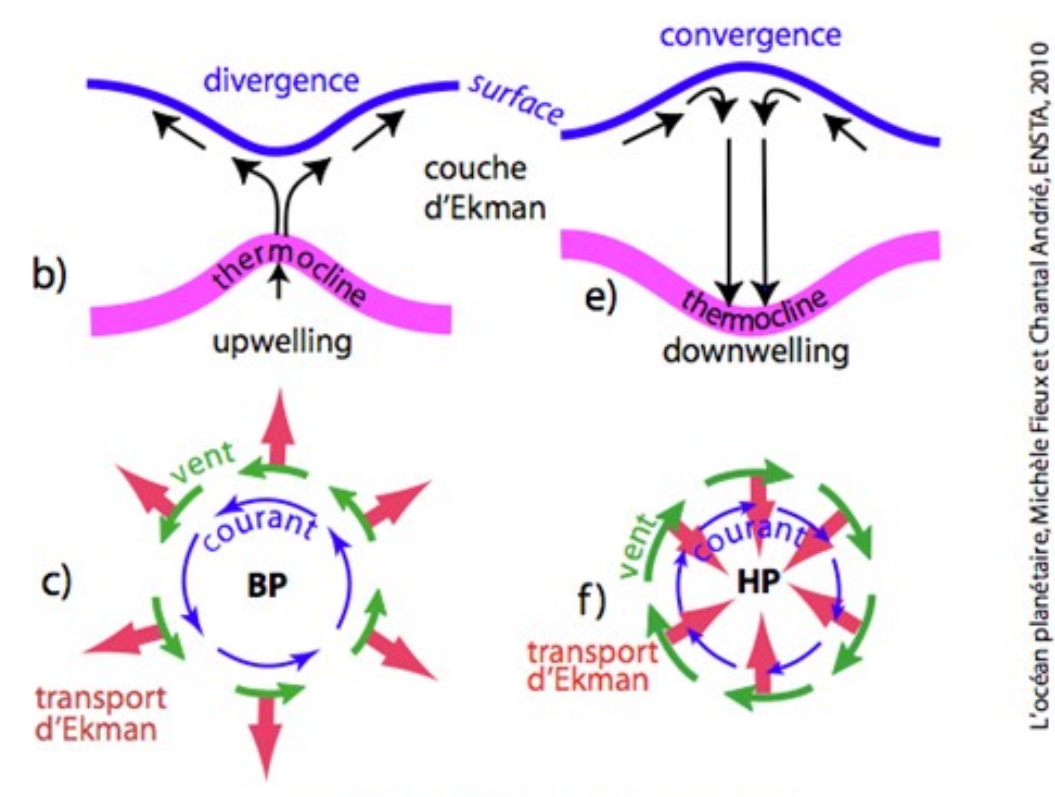


Figure 1-65- Transports d'Ekman associés

(a) à des vents cycloniques et une divergence ou

(d) à des vents anticycloniques et une convergence;

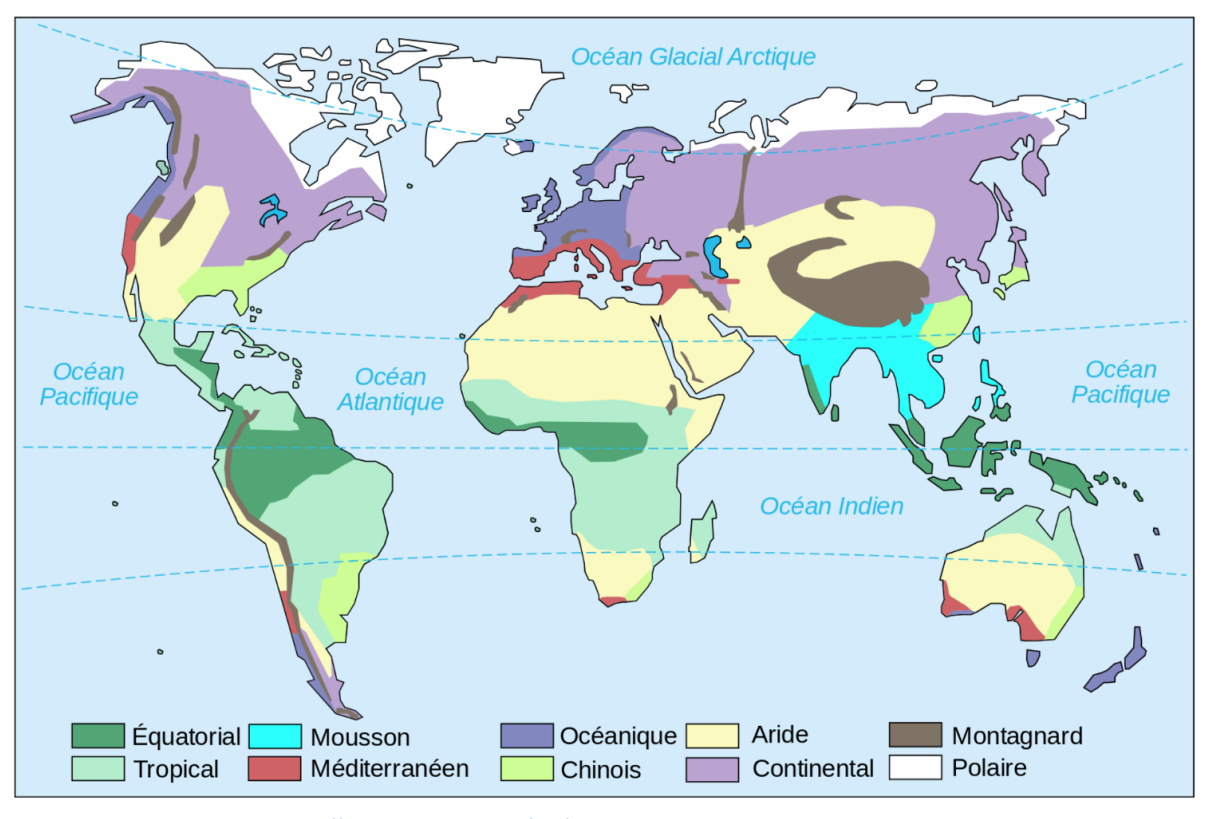
(b) upwelling et (e) downwelling et pentes de la surface et de la thermocline associées;

(c) et (f) courants géostrophiques engendrés par les gradients de pression résultants

(d'après Ocean Circulation, 1989).

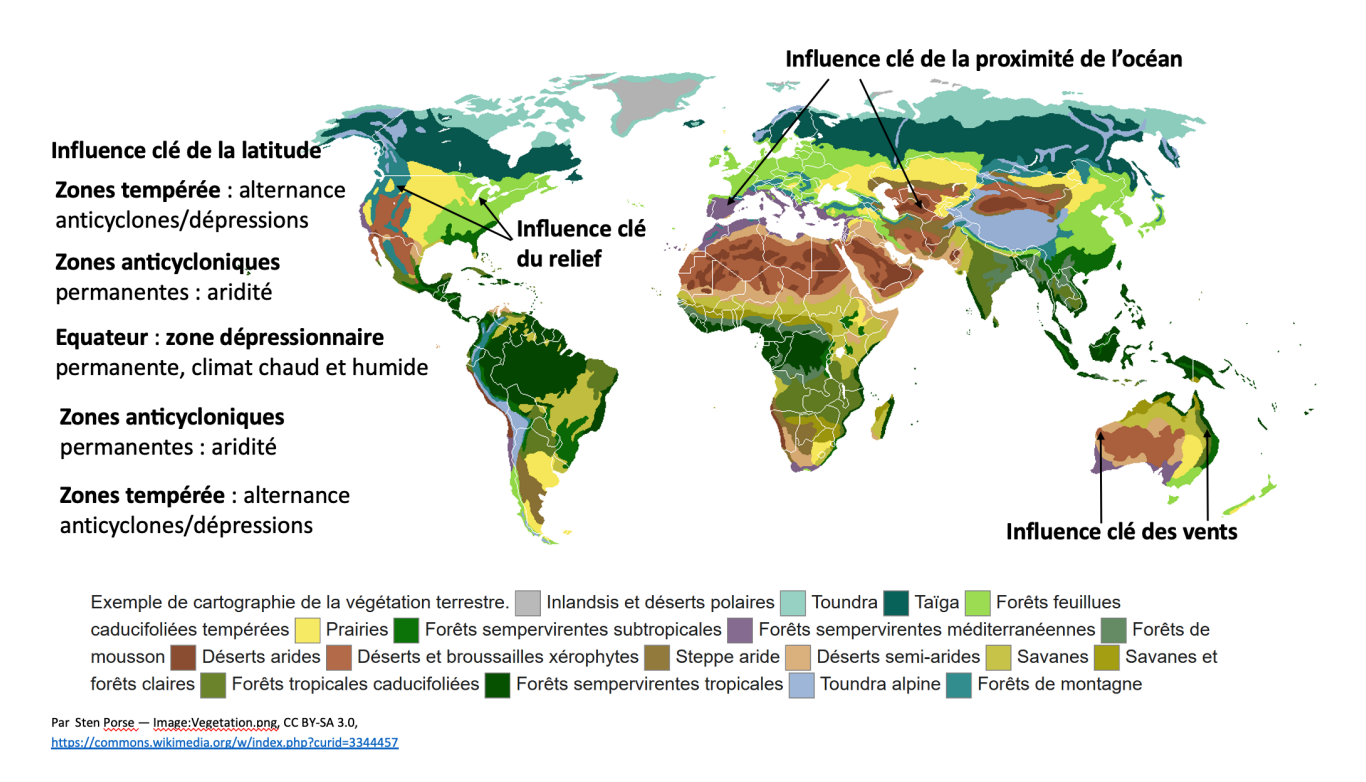
Figure 21: Le lien entre les climats et le vivant

La répartition des climats



https://commons.wikimedia.org/wiki/File:Map_world_climate_zones_(simplified_to_10)-fr.svg

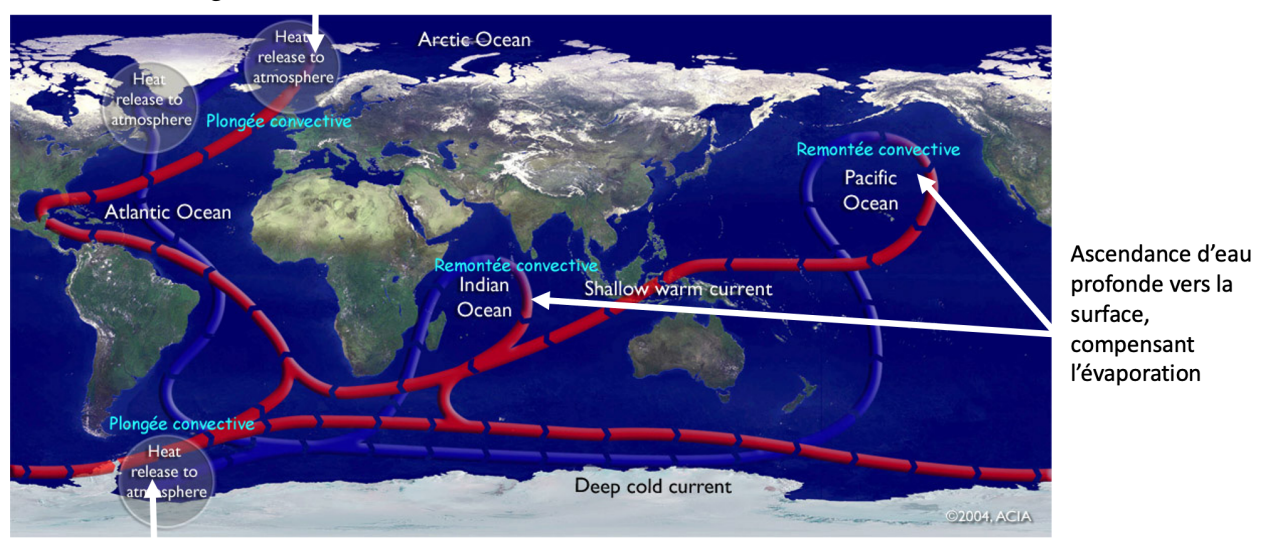
La répartition des grands biomes



17/20

Figure 22 : La circulation méridienne de retournement (in Dunod 2021)

Plongée d'eau froide et salée



Plongée d'eau froide et salée

http://acces.ens-lvon.fr/acces/thematiques/paleo/systemclim/gulfstream/pages_gulfstream/dosscientif/descriptgulfstream/circuthermoha

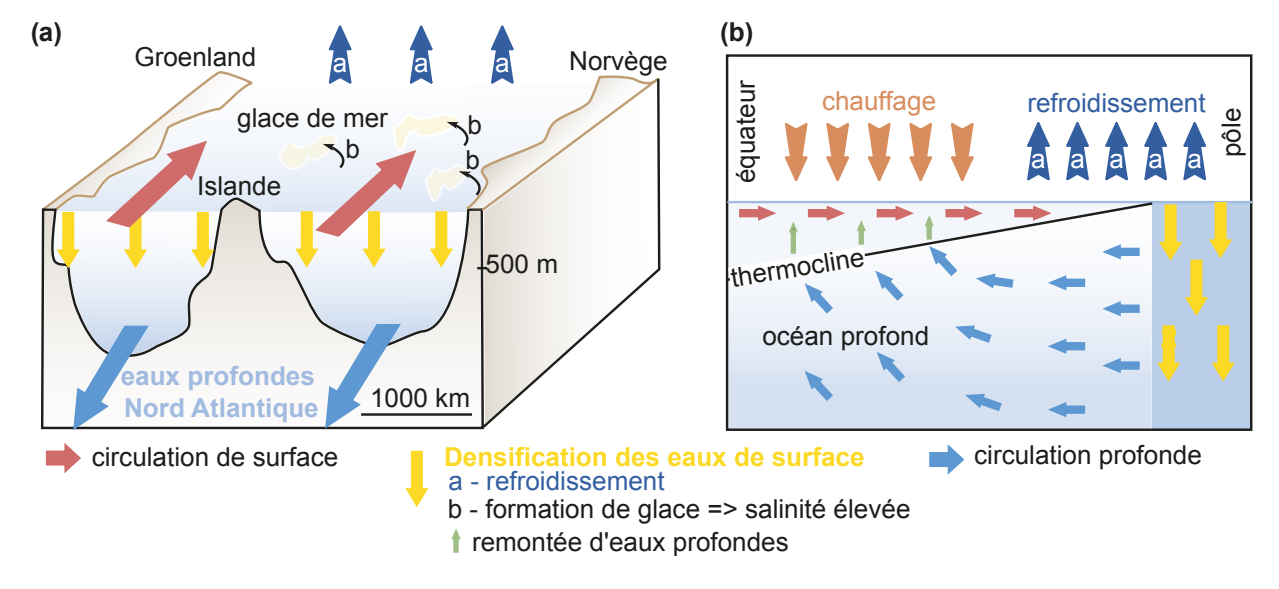


Figure 30.9 Processus induisant la convection profonde (a) et schéma général montrant le principe de la circulation convective due aux gradients de densité (b).

